

Prowadzący instalację:

P4 Sp. z o. o.
ul. Wynalazek 1
02-677 Warszawa

Warszawa, 21.06.2023

Adres do korespondencji:

P4 Sp. z o. o.
ul. Wynalazek 1,
02-677 Warszawa

Starostwo Powiatowe w Kielcach
Wydział Rolnictwa, Leśnictwa
i Ochrony Środowiska

Przedłożenie informacji o zmianie danych w instalacji

o których mowa w przedłożeniu informacji dla KIE4445D z dnia 03.10.2019

dotyczy: informacji o zmianie w zakresie danych w przedłożeniu informacji dla KIE4445D.

Adres zakładu, na którego terenie prowadzona jest eksploatacja instalacji:

26-065 Piekoszów, Częstochowska, dz. nr 9/1, gm. Piekoszów, pow. kielecki

Podstawa prawna: ustawa z dnia 27 kwietnia 2001 r. Prawo ochrony środowiska, art. 152, ust 6, pkt 1, lit. c)

Niniejsza informacja zawiera wyłącznie dane, które uległy zmianie.

1) Oznaczenie prowadzącego instalację, jego adres zamieszkania lub siedziby.

Brak zmian.

2) Rodzaj i zakres prowadzonej działalności, w tym wielkość produkcji lub wielkość świadczonych usług.

Usługi telekomunikacyjne, transmisja danych: 1TB/doba.

3) Czas funkcjonowania instalacji (dni tygodnia i godziny).

Brak zmian.

4) Wielkość i rodzaj emisji.

Dane przed zmianą:

L.p.	Nazwa anteny	Wysokość [m n.p.t.]	Rodzaj emisji	Równoważna moc	Azymut	Kąt pochylenia	Częstotliwość
------	--------------	------------------------	------------------	-------------------	--------	-------------------	---------------

				promieniowana izotropowo			
1	11_LNU	28,95	PEM	8592 W	0°	0-6°	1800 MHz
2	11_LNU	28,95	PEM	6368 W	0°	0-6°	2100 MHz
3	12_GTV	28,95	PEM	2369 W	30°	0-10°	800 MHz
4	12_GTV	28,95	PEM	2511 W	30°	0-10°	900 MHz
5	12_GTV	28,95	PEM	2369 W	330°	0-10°	800 MHz
6	12_GTV	28,95	PEM	2511 W	330°	0-10°	900 MHz
7	13_H	28,95	PEM	19918 W	0°	0-6°	2600 MHz
8	21_L	28,95	PEM	8592 W	130°	0-6°	1800 MHz
9	22_GNTU	28,7	PEM	1998 W	130°	2-8°	900 MHz
10	22_GNTU	28,7	PEM	4305 W	130°	0-8°	2100 MHz
11	23_HV	28,7	PEM	1835 W	130°	0-6°	800 MHz
12	23_HV	28,7	PEM	9982 W	130°	0-6°	2600 MHz
13	31_L	28,95	PEM	8592 W	230°	0-6°	1800 MHz
14	32_GNTU	28,7	PEM	1998 W	230°	2-8°	900 MHz
15	32_GNTU	28,7	PEM	4305 W	230°	0-8°	2100 MHz
16	33_HV	28,7	PEM	1835 W	230°	0-6°	800 MHz
17	33_HV	28,7	PEM	9982 W	230°	0-6°	2600 MHz
18	RL1	30	PEM	6918 W	99°		23 GHz
19	RL2	29,3	PEM	7079 W	118°		80 GHz
20	RL3	29,6	PEM	6918 W	250°		23 GHz

Dane po zmianie:

L.p.	Nazwa anteny	Wysokość [m n.p.t.]	Rodzaj emisji	Równoważna moc promieniowana izotropowo	Azymut	Kąt pochylenia	Częstotliwość
1	11_GTV	28,95	PEM	4798 W	30°	0-10°	800 MHz
2	11_GTV	28,95	PEM	3822 W	30°	0-10°	900 MHz
3	11_GTV	28,95	PEM	4798 W	330°	0-10°	800 MHz
4	11_GTV	28,95	PEM	3822 W	330°	0-10°	900 MHz
5	12_HL	28,95	PEM	10021 W	0°	0-6°	1800 MHz
6	12_HL	28,95	PEM	11140 W	0°	0-6°	2100 MHz
7	12_HL	28,95	PEM	9867 W	0°	0-6°	2600 MHz
8	13_HN	28,95	PEM	10021 W	0°	0-6°	1800 MHz
9	13_HN	28,95	PEM	11140 W	0°	0-6°	2100 MHz
10	13_HN	28,95	PEM	9867 W	0°	0-6°	2600 MHz
11	21_HLV	28,7	PEM	3636 W	130°	0-10°	800 MHz
12	21_HLV	28,7	PEM	5139 W	130°	0-10°	1800 MHz
13	21_HLV	28,7	PEM	5456 W	130°	0-10°	2100 MHz
14	21_HLV	28,7	PEM	4945 W	130°	0-10°	2600 MHz
15	22_GHNT	28,7	PEM	2903 W	130°	0-10°	900 MHz
16	22_GHNT	28,7	PEM	5139 W	130°	0-10°	1800 MHz
17	22_GHNT	28,7	PEM	5456 W	130°	0-10°	2100 MHz
18	22_GHNT	28,7	PEM	4945 W	130°	0-10°	2600 MHz
19	31_HLV	28,7	PEM	3636 W	240°	0-10°	800 MHz
20	31_HLV	28,7	PEM	5139 W	240°	0-10°	1800 MHz
21	31_HLV	28,7	PEM	5456 W	240°	0-10°	2100 MHz
22	31_HLV	28,7	PEM	4945 W	240°	0-10°	2600 MHz

23	32_GHNT	28,7	PEM	2903 W	240°	0-10°	900 MHz
24	32_GHNT	28,7	PEM	5139 W	240°	0-10°	1800 MHz
25	32_GHNT	28,7	PEM	5456 W	240°	0-10°	2100 MHz
26	32_GHNT	28,7	PEM	4945 W	240°	0-10°	2600 MHz
27	RL1	30	PEM	1479 W	99°		23 GHz
28	RL2	29,3	PEM	7586 W	118°		80 GHz
29	RL3	29,6	PEM	1479 W	250°		23 GHz

5) Opis stosowanych metod ograniczania wielkości emisji.

Brak zmian.

6) Informacja, czy stopień ograniczania wielkości emisji jest zgodny z obowiązującymi przepisami.

Stopień ograniczenia wielkości emisji jest zgodny z obowiązującymi przepisami.

7) (uchylony)

-/-

8) Sprawozdanie z wykonanych pomiarów poziomów pól EM, o których mowa w art. 122a ust. 1 pkt 1.

Sprawozdanie nr 30/06/OŚ/2023-P4-W z dnia 13.06.2023, Nr akredytacji PCA – AB 1630.

Koordinator OŚ
Milena Łukasiak
kom. 790004096

Signature Not Verified

Dokument podpisany przez
Milena Łukasiak
Data: 2023.06.21 12:45:03
CEST



Laboratorium EMVO Sp. J. Urbański, Pawelak

ul. Jasna 1
00-013 Warszawa

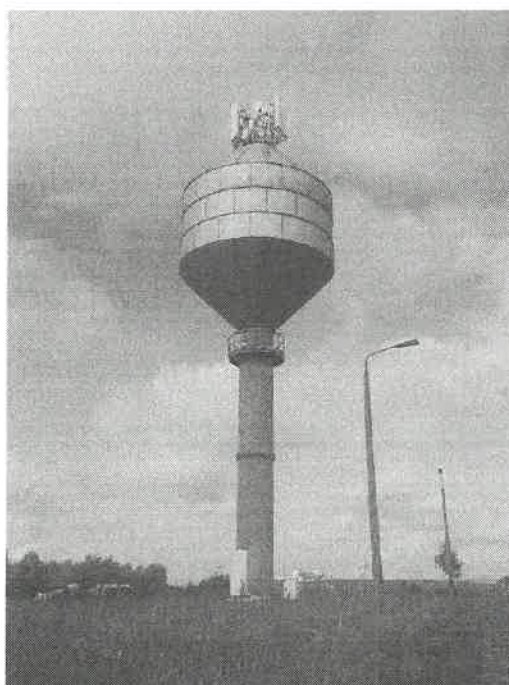
tel. +48 22 780 29 64

e-mail: laboratorium@emvo.pl



AB 1630

Sprawozdanie z pomiarów pól elektromagnetycznych - środowisko nr 30/06/OŚ/2023-P4-W



Nr i nazwa stacji	KIE4445D	
Adres	Piekoszów, Częstochowska, dz. nr 9/1, pow. kielecki, woj. świętokrzyskie	
Opracowanie	Wiesław Laskowski	Specjalista ds. pomiarów
Autoryzacja	Andrzej Urbański	Kierownik Laboratorium
Podpis	Signature Not Verified Dokument podpisany przez Andrzej Urbański Data: 2023.06.15 12:49:05 CEST Powód: Zatwierdzam dokument	
Data	2023-06-13	

„Bez pisemnej zgody Laboratorium niniejsze sprawozdanie nie może być powielane inaczej, jak tylko w całości. Ponadto wyniki dotyczą tylko badanych obiektów przywołanych w niniejszym sprawozdaniu z badań”

Spis treści

1. Informacje ogólne.....	3
2. Podstawa prawna.....	3
3. Opis pomiarów.....	3
4. Zróżnicowanie dopuszczalne poziomy pól elektromagnetycznych.....	4
5. Charakterystyka źródeł PEM.....	4
6. Wyniki pomiarów.....	6
7. Stwierdzenie zgodności.....	8
8. Oświadczenie.....	9
9. Spis załączników.....	9

1. Informacje ogólne.

Zleceniodawca	P4 Sp. z o.o., ul. Wynałazek 1, 02-677 Warszawa osoba udzielająca informacji – Monika Bieroza
Istotne informacje dostarczone przez klienta	komplet informacji niezbędnych do wykonania pomiarów i opracowania sprawozdania
Dane otrzymane od klienta mogące mieć wpływ na ważność wyników	dane anten sektorowych, dane anten radioliniowych, parametry pracy instalacji, poprawka pomiarowa
Prowadzący instalację	P4 sp. z o.o., ul. Wynałazek 1, 02-677 Warszawa
Lokalizacja obiektu	Piekoszków, Częstochowska, dz. nr 9/1, pow. kielecki, woj. świętokrzyskie
Miejsce instalacji anten	zbiornik wieżowy na wodę
Miejsce instalacji urządzeń	outdoor
Osoby wykonujące pomiar	Jarosław Buzafa - pomiarowiec
Data wykonania pomiaru	2023-06-13
Godzina rozpoczęcia pomiaru	17.00
Godzina zakończenia pomiaru	18.30
Temperatura na początku pomiaru [°C]	12
Temperatura na koniec pomiaru [°C]	12
Warunki atmosferyczne	brak opadów
Wilgotność na początku pomiaru [%]	88
Wilgotność na koniec pomiaru [%]	88
Inne źródła pól elektromagnetycznych oznaczone na załączniku graficznym	nie występują
Parametry pracy instalacji	eksploatacyjny

2. Podstawa prawna.

2.1 Normy i rozporządzenia:

- Obwieszczenie Ministra Klimatu i Środowiska z dnia 21 listopada 2022 r. w sprawie ogłoszenia jednolitego tekstu rozporządzenia Ministra Klimatu w sprawie sposobów sprawdzania dotrzymania dopuszczalnych poziomów pól elektromagnetycznych w środowisku (Dz.U. 2022 poz. 2630)
- Rozporządzenie Ministra Zdrowia z dnia 17 grudnia 2019 r. w sprawie dopuszczalnych poziomów pól elektromagnetycznych w środowisku (Dz.U. 2019 poz. 2448)
- Obwieszczenie Marszałka Sejmu Rzeczypospolitej Polskiej z dnia 1 grudnia 2022 r. w sprawie ogłoszenia jednolitego tekstu ustawy - Prawo ochrony środowiska (Dz.U. 2022 poz. 2556).

3. Opis pomiarów

Metodologia pomiarowa Pomiary w oparciu o Rozporządzenie Ministra Klimatu z dnia 17 lutego 2020 r. w sprawie sposobów sprawdzania dotrzymania dopuszczalnych poziomów pól elektromagnetycznych w środowisku (Dz.U. 2022 poz. 2630).

Cel badań Określenie wartości natężenia pola elektrycznego w miejscach dostępnych dla ludności.

Opis zestawu pomiarowego	Miernik Narda NBM 520, Sonda EF 9091, o zakresie pomiarowym 0,7 V/m - 300V/m pracująca w paśmie 0,1 – 90 GHz, świadectwo wydane przez Laboratorium Wzorców i Metrologii Pola Elektromagnetycznego, Instytut Telekomunikacji, Teleinformatyki i Akustyki Politechniki Wrocławskiej. Świadectwo ważne do 07.07.2023. Miernik Narda NBM 520, Sonda EF 9091 pracująca w zakresie temperatury -10°C - +50°C oraz wilgotności 5% - 95%. Niepewność rozszerzona wynosi 57% przy poziomie ufności 95% z uwzględnieniem współczynnika rozszerzenia k=2.
Wyposażenie pomocnicze	Termohigrometr Termoprodukt, typ: Termik+, Nr. inwentarzowy 37/WL, nr identyfikacyjny 700618, świadectwo wzorcowania nr 1763/AH/19 z dn. 29.07.2019 r. wydane przez Laboratorium Pomiarowe "MUTECH". Przymiar wstępowy STABILA, Nr. inwentarzowy 36/WL, nr identyfikacyjny 31WL, świadectwo wzorcowania nr 6W1/1826/19 z dn. 02.08.2019 r. wydane przez Dyrektora Okręgowego Urzędu Miar w Gdańsku. GPS Garmin 64s okresowo sprawdzany w punktach osnowy geodezyjnej klasy 3 na podstawie licencji punktu, zgodnie z procedurą sprawdzeń okresowych IS/PO16-11/03.
Pomiary zostały wykonane	<ol style="list-style-type: none"> na głównych i pomocniczych kierunkach pomiarowych, na kierunkach zbliżonych do azymutów anten oraz w dodatkowych pionach pomiarowych zgodnie z wymaganiami pkt 12, 13, 14 i 19 Rozporządzenia Ministra Klimatu z dnia 17 lutego 2020 r. (Dz.U. 2022 poz. 2630). na obszarze pomiarowym, dla którego, na podstawie uprzednio przeprowadzonych obliczeń stwierdzono w miejscach dostępnych dla ludności występowanie pól elektromagnetycznych o najwyższym poziomie, które pochodzą z badanej instalacji zgodnie z wymaganiami pkt 5 ppkt 2 oraz pkt 13 ppkt 1 Rozporządzenia Ministra Klimatu z dnia 17 lutego 2020 r. w sprawie sposobów sprawdzania dotrzymania dopuszczalnych poziomów pól elektromagnetycznych w środowisku (Dz.U. 2022 poz. 2630). Wyniki obliczeń nie uwzględniały parametrów pracy instalacji innych operatorów występujących na obiekcie bądź w obszarze pomiarowym. w miejscach dostępnych dla ludności. miejsca niedostępne podczas wykonywania pomiarów wskazane zostały w pkt 6 (tabeli wyniki pomiarów).
Szczególne warunki podczas wykonywania pomiarów	Pomiary wykonane zostały podczas obowiązywania w kraju stanu zagrożenia epidemicznego, zgodnie z art. 122a ust. 1b Ustawy z dnia 27 kwietnia 2001 r. – Prawo ochrony środowiska (Dz. U. z 2019 r. poz. 1396, z późn. zm.9))
Warunki pracy urządzeń nadawczych	Tryb pracy eksploatacyjny.

4. Zróżnicowanie dopuszczalne poziomy pól elektromagnetycznych.

Zakresy znajdują się w Dzienniku Ustaw z dnia 17 grudnia 2019 r. przedstawione są w tabeli nr 2 (Dz. U. z 2019r. poz. 2448).

Zakres częstotliwości pola elektromagnetycznego	Parametr fizyczny		
	Składowa elektryczna E (V/m)	Składowa magnetyczna H (A/m)	Gęstość mocy S (W/m ²)
od 400 MHz do 2000 MHz	$1,375 \times f^{0,5}$	$0,0037 \times f^{0,5}$	f / 200
od 2 GHz do 300 GHz	61	0,16	10

5. Charakterystyka źródeł PEM.

Zgodnie z informacją otrzymaną od klienta pomiary zostały wykonane przy ustawieniach pochylecia anten zgodnych z pkt. 13, ppkt 2 załącznika do rozporządzenia Ministra Klimatu z dnia 17 lutego 2020 roku.

Tabela 1. Anteny sektorowe - dane otrzymane od klienta

Charakterystyka promieniowania		kierunkowa							
Rzeczywisty czas pracy [h/dobę]		24							
Rodzaj wytwarzanego pola		stacjonarne							
Lp.	Wyszczególnienie	sektor 1						sektor 2	
I	Nadajnik stacji bazowej:								
1	Typ / Producent	RBS / SRAN Ericsson							
2	Częstotliwość (pasmo) MHz	2600	2100	1800	2600	2100	1800	900	800
3	Maksymalna moc nadawana na sektor [dBm]	49,03	50	50	49,03	50	50	47,78	49,03
II	Obciążenie:								
1	Typ anteny	Huawei ADU4521R0			Huawei ADU4521R0			Huawei AMB4519R0	
2	Producent anteny	Huawei			Huawei			Huawei	
3	Nazwa anteny	12_HL	12_HL	12_HL	13_HN	13_HN	13_HN	11_GTV	11_GTV
4	Ilość anten	1			1			1	
5	Azymut	0						30	
6	Zakres kątów pochylenia anten [°]	0,00-6,00						0,00-10,00	
7	Wysokość zainst. n.p.t. [m]	28,95						28,95	
8	EIRP [W]	31028			31028			8620	

Charakterystyka promieniowania		kierunkowa							
Rzeczywisty czas pracy [h/dobę]		24							
Rodzaj wytwarzanego pola		stacjonarne							
Lp.	Wyszczególnienie	sektor 3							
I	Nadajnik stacji bazowej:								
1	Typ / Producent								
2	Częstotliwość (pasmo) MHz	2600	2100	1800	800	2600	2100	1800	900
3	Maksymalna moc nadawana na sektor [dBm]	49,03	50	50	49,03	49,03	50	50	47,78
II	Obciążenie:								
1	Typ anteny	Huawei ATR4518R11				Huawei ATR4518R11			
2	Producent anteny	Huawei				Huawei			
3	Nazwa anteny	21_HLV	21_HLV	21_HLV	21_HLV	22_GHNT	22_GHNT	22_GHNT	22_GHNT
4	Ilość anten	1				1			
5	Azymut	130							
6	Zakres kątów pochylenia anten [°]	0,00-10,00							
7	Wysokość zainst. n.p.t. [m]	28,70							
8	EIRP [W]	19176				18443			

Charakterystyka promieniowania		kierunkowa									
Rzeczywisty czas pracy [h/dobę]		24									
Rodzaj wytwarzanego pola		stacjonarne									
Lp.	Wyszczególnienie	sektor 4								sektor 5	
I	Nadajnik stacji bazowej:										
1	Typ / Producent										
2	Częstotliwość (pasmo) MHz	2600	2100	1800	800	2600	2100	1800	900	900	800
3	Maksymalna moc nadawana na sektor [dBm]	49,03	50	50	49,03	49,03	50	50	47,78	47,78	49,03
II	Obciążenie:										
1	Typ anteny	Huawei ATR4518R11				Huawei ATR4518R11				Huawei AMB4519R0	
2	Producent anteny	Huawei				Huawei				Huawei	
3	Nazwa anteny	31_HLV	31_HLV	31_HLV	31_HLV	32_GHNT	32_GHNT	32_GHNT	32_GHNT	11_GTV	11_GTV
4	Ilość anten	1				1				1	
5	Azymut	240				330					
6	Zakres kątów pochylenia anten [°]	0,00-10,00				0,00-10,00					
7	Wysokość zainst. n.p.t. [m]	28,70				28,95					
8	EIRP [W]	19176				18443				8620	

Tabela 2. Anteny radioliniowe - dane otrzymane od klienta

Charakterystyka promieniowania				kierunkowa			
Rzeczywisty czas pracy [h/dobę]				24			
Rodzaj wytwarzanego pola				stacjonarne			
Lp.	Linia radiowa			Antena			
	typ/producent	częstotliwość pracy [GHz]	moc wyjściowa [dBm]	typ/producent	średnica anteny [m]	azymut [°]	wysokość zainstalowania n.p.t. [m] (środek elektryczny anteny)
1	OPTIX RTN/HUAWEI	23	21	VHLPX2-23/Andrew	0,6	99	30,00
2	OPTIX RTN/HUAWEI	80	18	VHLP2-80/Andrew	0,6	118	29,30
3	OPTIX RTN/HUAWEI	23	21	VHLPX2-23/Andrew	0,6	250	29,60

6. Wyniki pomiarów.

Wyniki pomiarów pól elektromagnetycznych dla celów ochrony środowiska przedstawia poniższa tabela. Piony pomiarowe zostały przedstawione w zał. 2.

Nr PP	Pole-E [V/m]	Pole-E+U [V/m]	Pole-H [A/m]	Pole-H +U [A/m]	Wysokość pomiaru [m]	Współrzędne PP x, y	Opis PP	WM _E	WM _H
1	0,9	1,41	0,002	0,004	0,3 - 2,0	50°53'20.48" N 20°27'32.64" E	otoczenie stacji bazowej - 50 m wzdłuż gł. osi promieniowania - GKP	0,051	0,051
2	0,8	1,26	0,002	0,003	0,3 - 2,0	50°53'22.09" N 20°27'32.73" E	otoczenie stacji bazowej - 100 m wzdłuż gł. osi promieniowania - GKP	0,046	0,046
3	0,7*	1,26	0,002	0,003	0,3 - 2,0	50°53'23.71" N 20°27'32.82" E	otoczenie stacji bazowej - 150 m wzdłuż gł. osi promieniowania - GKP	0,046	0,046
4	0,7*	1,26	0,002	0,003	0,3 - 2,0	50°53'25.33" N 20°27'32.91" E	otoczenie stacji bazowej - 200 m wzdłuż gł. osi promieniowania - GKP	0,046	0,046
5	0,7*	1,26	0,002	0,003	0,3 - 2,0	50°53'26.95" N 20°27'33" E	otoczenie stacji bazowej - 250 m wzdłuż gł. osi promieniowania - GKP	0,046	0,046

„Bez pisemnej zgody Laboratorium niniejsze sprawozdanie nie może być powielane inaczej, jak tylko w całości. Ponadto wyniki dotyczą tylko badanych obiektów przywołanych w niniejszym sprawozdaniu z badań”

Nr PP	Pole-E [V/m]	Pole-E+U [V/m]	Pole-H [A/m]	Pole-H +U [A/m]	Wysokość pomiaru [m]	Współrzędne PP x, y	Opis PP	WM _E	WM _H
6	0,7*	1,26	0,002	0,003	0,3 - 2,0	50°53'28.56" N 20°27'33.09" E	otoczenie stacji bazowej - 300 m wzdłuż gł. osi promieniowania - GKP	0,046	0,046
7	1,0	1,57	0,003	0,004	0,3 - 2,0	50°53'20.23" N 20°27'33.91" E	otoczenie stacji bazowej - 50 m wzdłuż gł. osi promieniowania - GKP	0,057	0,057
8	1,0	1,57	0,003	0,004	0,3 - 2,0	50°53'21.6" N 20°27'35.26" E	otoczenie stacji bazowej - 100 m wzdłuż gł. osi promieniowania - GKP	0,057	0,057
9	1,0	1,57	0,003	0,004	0,3 - 2,0	50°53'22.98" N 20°27'36.62" E	otoczenie stacji bazowej - 150 m wzdłuż gł. osi promieniowania - GKP	0,057	0,057
10	0,7*	1,26	0,002	0,003	0,3 - 2,0	50°53'24.35" N 20°27'37.97" E	otoczenie stacji bazowej - 200 m wzdłuż gł. osi promieniowania - GKP	0,046	0,046
11	0,7*	1,26	0,002	0,003	0,3 - 2,0	50°53'25.72" N 20°27'39.33" E	otoczenie stacji bazowej - 250 m wzdłuż gł. osi promieniowania - GKP	0,046	0,046
12	0,7*	1,26	0,002	0,003	0,3 - 2,0	50°53'27.09" N 20°27'40.68" E	otoczenie stacji bazowej - 300 m wzdłuż gł. osi promieniowania - GKP	0,046	0,046
13	1,0	1,57	0,003	0,004	0,3 - 2,0	50°53'17.78" N 20°27'34.45" E	otoczenie stacji bazowej - 50 m wzdłuż gł. osi promieniowania - GKP	0,057	0,057
14	0,7*	1,26	0,002	0,003	0,3 - 2,0	50°53'16.69" N 20°27'36.35" E	otoczenie stacji bazowej - 100 m wzdłuż gł. osi promieniowania - GKP	0,046	0,046
15	0,7*	1,26	0,002	0,003	0,3 - 2,0	50°53'15.61" N 20°27'38.25" E	otoczenie stacji bazowej - 150 m wzdłuż gł. osi promieniowania - GKP	0,046	0,046
16	0,7*	1,26	0,002	0,003	0,3 - 2,0	50°53'14.53" N 20°27'40.15" E	otoczenie stacji bazowej - 200 m wzdłuż gł. osi promieniowania - GKP	0,046	0,046
17	0,7*	1,26	0,002	0,003	0,3 - 2,0	50°53'13.45" N 20°27'42.05" E	otoczenie stacji bazowej - 250 m wzdłuż gł. osi promieniowania - GKP	0,046	0,046
18	0,7*	1,26	0,002	0,003	0,3 - 2,0	50°53'12.36" N 20°27'43.96" E	otoczenie stacji bazowej - 300 m wzdłuż gł. osi promieniowania - GKP	0,046	0,046
19	1,0	1,57	0,003	0,004	0,3 - 2,0	50°53'18.1" N 20°27'30.29" E	otoczenie stacji bazowej - 50 m wzdłuż gł. osi promieniowania - GKP	0,057	0,057
20	0,7*	1,26	0,002	0,003	0,3 - 2,0	50°53'17.34" N 20°27'28.03" E	otoczenie stacji bazowej - 100 m wzdłuż gł. osi promieniowania - GKP	0,046	0,046
21	0,7*	1,26	0,002	0,003	0,3 - 2,0	50°53'16.58" N 20°27'25.77" E	otoczenie stacji bazowej - 150 m wzdłuż gł. osi promieniowania - GKP	0,046	0,046
22	0,7*	1,26	0,002	0,003	0,3 - 2,0	50°53'15.82" N 20°27'23.52" E	otoczenie stacji bazowej - 200 m wzdłuż gł. osi promieniowania - GKP	0,046	0,046
23	0,7*	1,26	0,002	0,003	0,3 - 2,0	50°53'15.06" N 20°27'21.26" E	otoczenie stacji bazowej - 250 m wzdłuż gł. osi promieniowania - GKP	0,046	0,046
24	0,7*	1,26	0,002	0,003	0,3 - 2,0	50°53'14.3" N 20°27'19" E	otoczenie stacji bazowej - 300 m wzdłuż gł. osi promieniowania - GKP	0,046	0,046
25	1,0	1,57	0,003	0,004	0,3 - 2,0	50°53'20.29" N 20°27'31.35" E	otoczenie stacji bazowej - 50 m wzdłuż gł. osi promieniowania - GKP	0,057	0,057
26	1,0	1,57	0,003	0,004	0,3 - 2,0	50°53'21.72" N 20°27'30.15" E	otoczenie stacji bazowej - 100 m wzdłuż gł. osi promieniowania - GKP	0,057	0,057
27	1,0	1,57	0,003	0,004	0,3 - 2,0	50°53'23.15" N 20°27'28.95" E	otoczenie stacji bazowej - 150 m wzdłuż gł. osi promieniowania - GKP	0,057	0,057
28	0,7*	1,26	0,002	0,003	0,3 - 2,0	50°53'24.57" N 20°27'27.75" E	otoczenie stacji bazowej - 200 m wzdłuż gł. osi promieniowania - GKP	0,046	0,046
29	0,7*	1,26	0,002	0,003	0,3 - 2,0	50°53'26" N 20°27'26.55" E	otoczenie stacji bazowej - 250 m wzdłuż gł. osi promieniowania - GKP	0,046	0,046
30	0,7*	1,26	0,002	0,003	0,3 - 2,0	50°53'27.43" N 20°27'25.34" E	otoczenie stacji bazowej - 300 m wzdłuż gł. osi promieniowania - GKP	0,046	0,046
31	1,0	1,57	0,003	0,004	0,3 - 2,0	50°53'18.58" N 20°27'35.07" E	otoczenie stacji bazowej - 50 m wzdłuż gł. osi promieniowania - GKP	0,057	0,057
32	0,7*	1,26	0,002	0,003	0,3 - 2,0	50°53'18.3" N 20°27'37.59" E	otoczenie stacji bazowej - 100 m wzdłuż gł. osi promieniowania - GKP	0,046	0,046
33	1,0	1,57	0,003	0,004	0,3 - 2,0	50°53'18.05" N 20°27'34.77" E	otoczenie stacji bazowej - 50 m wzdłuż gł. osi promieniowania - GKP	0,057	0,057

„Bez pisemnej zgody Laboratorium niniejsze sprawozdanie nie może być powielane inaczej, jak tylko w całości. Ponadto wyniki dotyczą tylko badanych obiektów przywołanych w niniejszym sprawozdaniu z badań”

Nr PP	Pole-E [V/m]	Pole-E+U [V/m]	Pole-H [A/m]	Pole-H +U [A/m]	Wysokość pomiaru [m]	Współrzędne PP x, y	Opis PP	WM _E	WM _H
34	0,7*	1,26	0,002	0,003	0,3 - 2,0	50°53'17.24" N 20°27'36.98" E	otoczenie stacji bazowej - 100 m wzdłuż gł. osi promieniowania - GKP	0,046	0,046
35	0,7*	1,26	0,002	0,003	0,3 - 2,0	50°53'18.36" N 20°27'30.12" E	otoczenie stacji bazowej - 50 m wzdłuż gł. osi promieniowania - GKP	0,046	0,046
36	0,7*	1,26	0,002	0,003	0,3 - 2,0	50°53'17.86" N 20°27'27.68" E	otoczenie stacji bazowej - 100 m wzdłuż gł. osi promieniowania - GKP	0,046	0,046
A	1,0	1,57	0,003	0,004	0,3 - 2,0	50°53'17.5" N 20°27'33.5" E	ul. Częstochowska 115 - DPP	0,057	0,057
B	0,7*	1,26	0,002	0,003	0,3 - 2,0	50°53'16.7" N 20°27'29.8" E	ul. Leśna 14 - DPP	0,046	0,046
C	0,7*	1,26	0,002	0,003	0,3 - 2,0	50°53'16.5" N 20°27'33.5" E	ul. Częstochowska 113 - DPP	0,046	0,046
D	0,7*	1,26	0,002	0,003	0,3 - 2,0	50°53'16.4" N 20°27'31.2" E	budynek bez numeru - DPP	0,046	0,046
E	0,7*	1,26	0,002	0,003	0,3 - 2,0	50°53'22.1" N 20°27'30.2" E	budynek bez numeru - DPP	0,046	0,046
F	0,7*	1,26	0,002	0,003	0,3 - 2,0	50°53'23.5" N 20°27'31.0" E	budynek bez numeru - DPP	0,046	0,046
G	0,7*	1,26	0,002	0,003	0,3 - 2,0	50°53'23.3" N 20°27'28.5" E	ul. Leśna 16c - DPP	0,046	0,046

Wynik pomiaru pole - E [V/m] - maksymalna wartość chwilowa zmierzona w danym pionie pomiarowym (uśredniona na podstawie punktu 11 załącznika do Rozporządzenia Ministra Klimatu z dnia 17 lutego 2020 r. w sprawie sposobów sprawdzania dotrzymania dopuszczalnych poziomów pól elektromagnetycznych w środowisku (Dz.U. 2022 poz. 2630). Zgodnie z pkt. 7 załącznika do Rozporządzenia Ministra Klimatu z dnia 17 lutego 2020 r. w sprawie sposobów sprawdzania dotrzymania dopuszczalnych poziomów pól elektromagnetycznych w środowisku (Dz.U. 2022 poz. 2630) nie stosuje się poprawek pomiarowych.

Przyjęto najniższą dopuszczalną wartość składowej elektrycznej pola dla objętego pomiarami zakresu częstotliwości $\min(ME_{gr}) = 28 \text{ V/m}$ oraz składowej magnetycznej $\min(MH_{gr}) = 0,073 \text{ A/m}$.

* - wartość zmierzona poniżej zakresu akredytacji. Do obliczeń przyjęto wartość zgodną z dolną granicą akredytowanego zakresu pomiarowego metody.

GKP - główne kierunki pomiarowe

PKP - pomocnicze kierunki pomiarowe

DPP - dodatkowe punkty pomiarowe

PP - pion pomiarowy

U - niepewność pomiarowa rozszerzona, przy poziomie ufności 95%, z uwzględnieniem współczynnika rozszerzenia $k=2$

WM_E - wartość wskaźnikowa poziomu emisji pól elektromagnetycznych dla miejsc dostępnych dla ludności dla składowej elektrycznej pola

WM_H - wartość wskaźnikowa poziomu emisji pól elektromagnetycznych dla miejsc dostępnych dla ludności dla składowej magnetycznej pola

7. Stwierdzenie zgodności

Na podstawie wytycznych podanych w Rozporządzeniu Ministra Zdrowia z dnia 17 grudnia 2019 r. w sprawie dopuszczalnych poziomów pól elektromagnetycznych w środowisku (Dz.U. 2019 poz. 2448) oraz sposobów sprawdzania dotrzymania tych poziomów zgodnie z Rozporządzeniem Ministra Klimatu z dnia 17 lutego 2020 r. w sprawie sposobów sprawdzania dotrzymania dopuszczalnych poziomów pól elektromagnetycznych w środowisku (Dz.U. 2022 poz. 2630), dotyczących źródła wymagań, które muszą być spełnione, w oparciu o zasadę podejmowania decyzji zgodną z pkt. 26 Rozporządzenia Ministra Klimatu z dnia 17 lutego 2020 r. (Dz.U. 2022 poz. 2630), na podstawie wyników pomiarów pól elektromagnetycznych wykonanych w dniu 2023-06-13 stwierdzono, że wszystkie wyniki przeprowadzonych pomiarów w danym obszarze pomiarowym oraz wyznaczone na tej podstawie wskaźniki WME oraz WMH są mniejsze od wartości dopuszczalnych – zgodnie z przepisami wydanymi na podstawie art. 122 ust. 1 ustawy z dnia 27 kwietnia 2001 r. – Prawo ochrony środowiska – załącznikiem do Rozporządzenia Ministra Klimatu i Środowiska z dnia 17 lutego 2020 r. w sprawie sposobów sprawdzania dotrzymania dopuszczalnych poziomów pól elektromagnetycznych w środowisku (Dz.U. 2022 poz. 2630, pkt 26).

8. Oświadczenie.

Wyniki badania odnoszą się wyłącznie do badanego obiektu.

Bez pisemnej zgody sprawozdanie nie może być powielane inaczej, jak tylko w całości.

Uwagi i zastrzeżenia przyjmowane są w formie pisemnej.

9. Spis załączników.

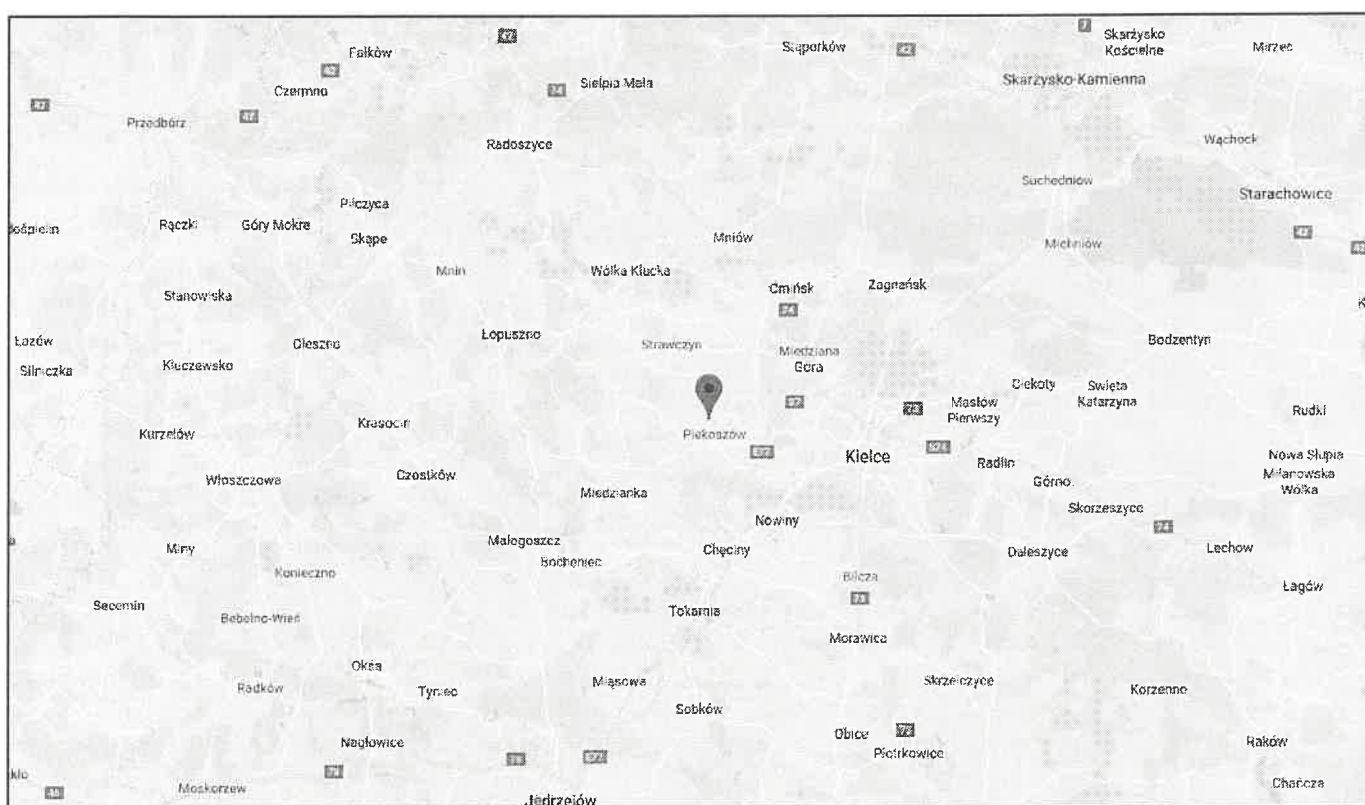
Załącznik 1. Lokalizacja obiektu.

Załącznik 2. Widok pionów pomiarowych.

Załącznik 3. Widok stacji bazowej.

Koniec sprawozdania

Załącznik 1. Lokalizacja obiektu

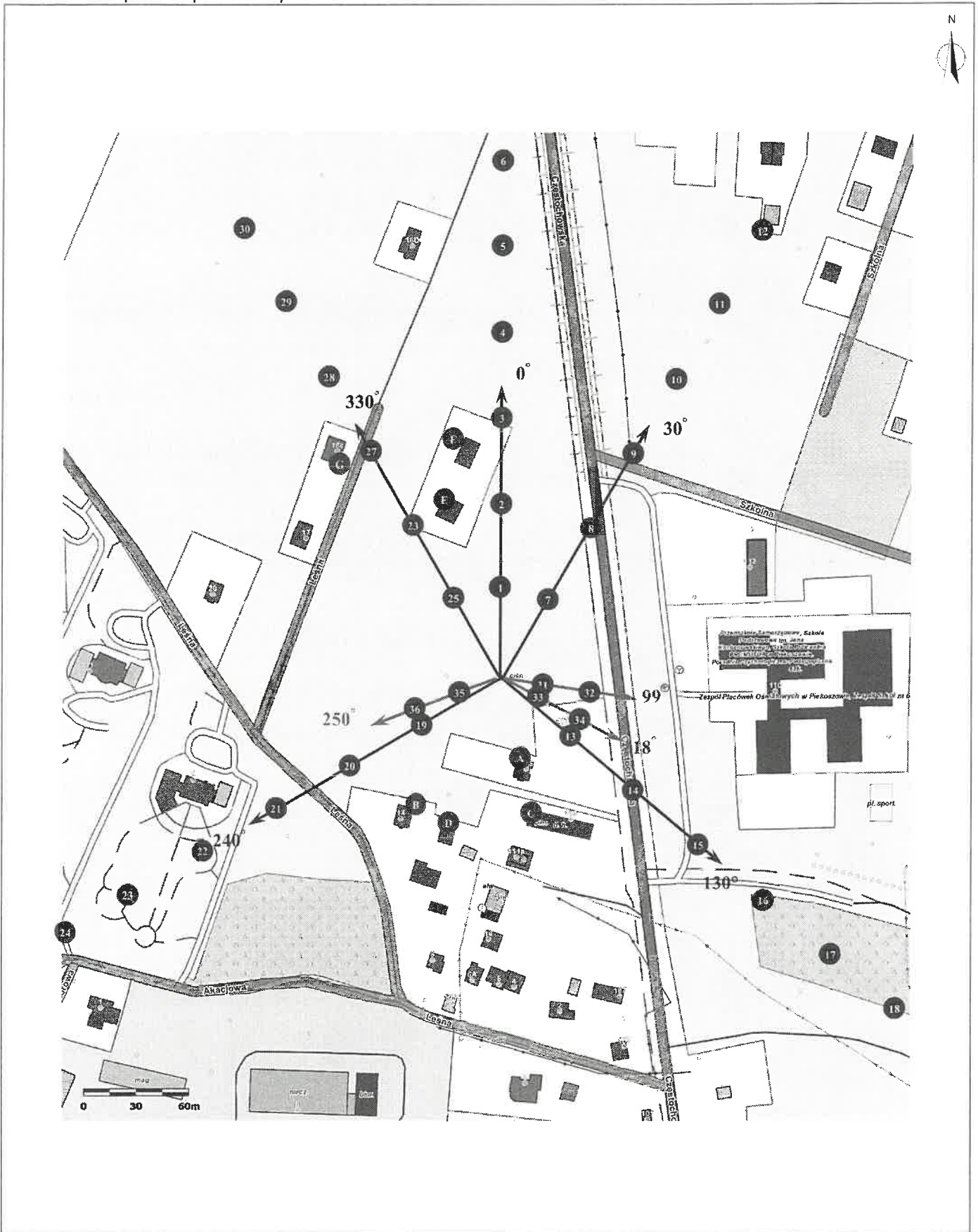


Współrzędne geograficzne

szerokość: 50°53'18.92"N

długość: 20°27'32.40"E

Zał. 2: Widok pionów pomiarowych



LEGENDA:

- inna instalacja radiokomunikacyjna
- brak dostępu
- pion pomiarowy
- antena sektorowa
- antena radioliniowa

Skala 1: 2500

„Bez pisemnej zgody Laboratorium niniejsze sprawozdanie nie może być powielane inaczej, jak tylko w całości. Ponadto wyniki dotyczą tylko badanych obiektów przywołanych w niniejszym sprawozdaniu z badań”

Załącznik 3. Załączniki graficzne

